



evropský  
sociální  
fond v ČR



EVROPSKÁ UNIE



MINISTERSTVO ŠKOLSTVÍ,  
MLÁDEŽE A TĚLOVÝCHOVY



OP Vzdělávání  
pro konkurenceschopnost

INVESTICE DO ROZVOJE VZDĚLÁVÁNÍ

# Kvantové hrebene –

formalizmus všeobecných  
kvantových protokolov

**Michal Sedlák**

Fyzikálny Ústav SAV

Bratislava

Spolupracovníci z Pávie: **Prof. G.M. D'Ariano, P. Perinotti, A. Bisio**

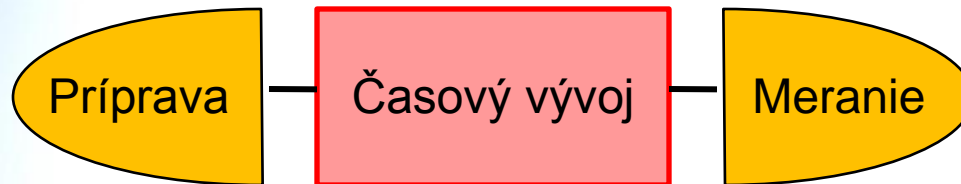
Školiteľ počas PhD: **Prof. Vladimír Bužek**

Spolupracovníci počas PhD: **M. Ziman, M. Hillery**

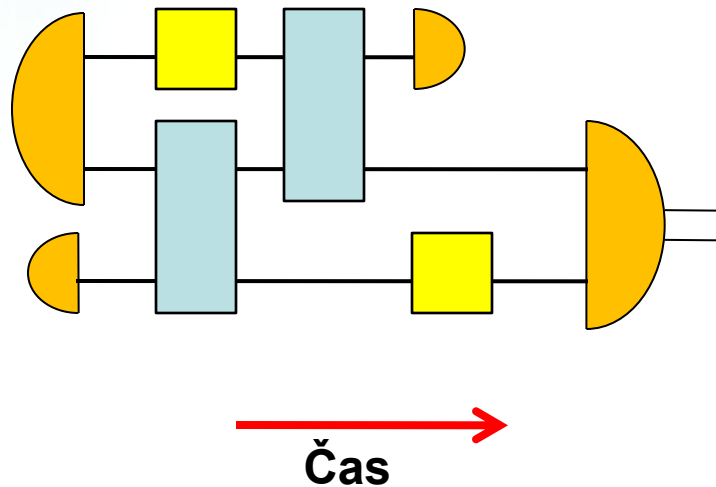
20.3.2012, Univerzita Palackého v Olomouci

# Kvantový obvod

- Schéma ľubovoľného kvantového experimentu
- skladá sa z troch druhov objektov:



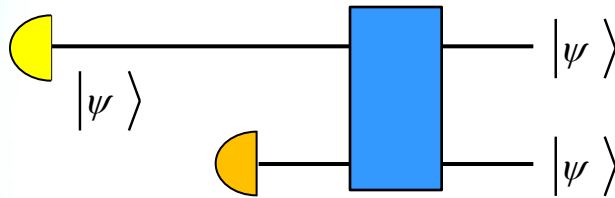
- vodorovné čiary znázorňujú vstup/výstup kvantových systémov
- Opakovanie tej istej udalosti = viacnásobný výskyt daného symbolu v schéme



# Optimalizácia kvantových protokolov

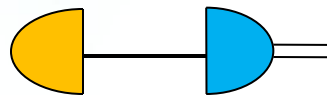
**Protokol** = ľubovoľný postup na dosiahnutie stanovenej úlohy

Klonovanie



← **Optimalizujeme transformáciu**

Rozlišovanie stavov

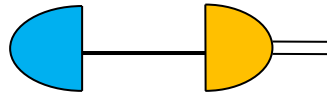


← **Optimalizujeme meranie**

# Optimalizácia kvantových protokolov

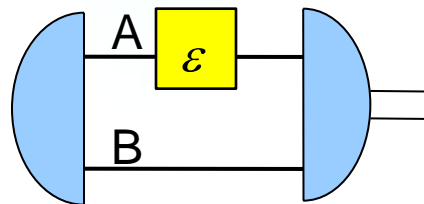
**Protokol** = ľubovoľný postup na dosiahnutie stanovenej úlohy

Informačná sila merania



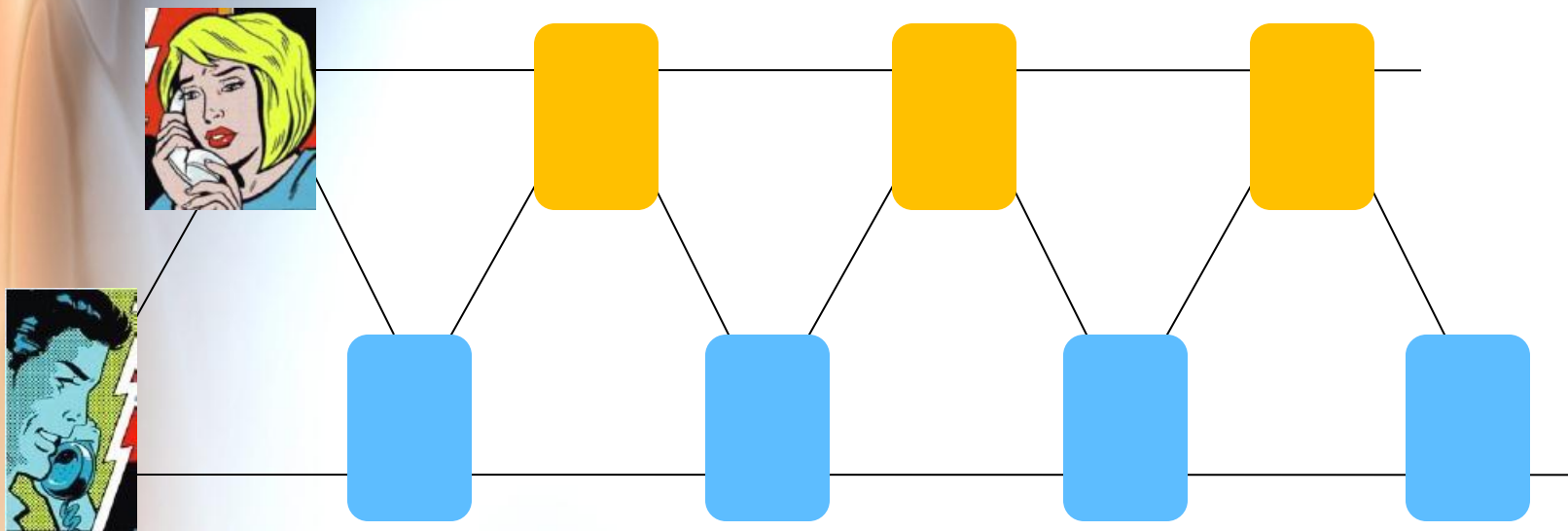
← **Optimalizujeme  
Vstupné stavy**

Odhad/rozlišovanie transformácií

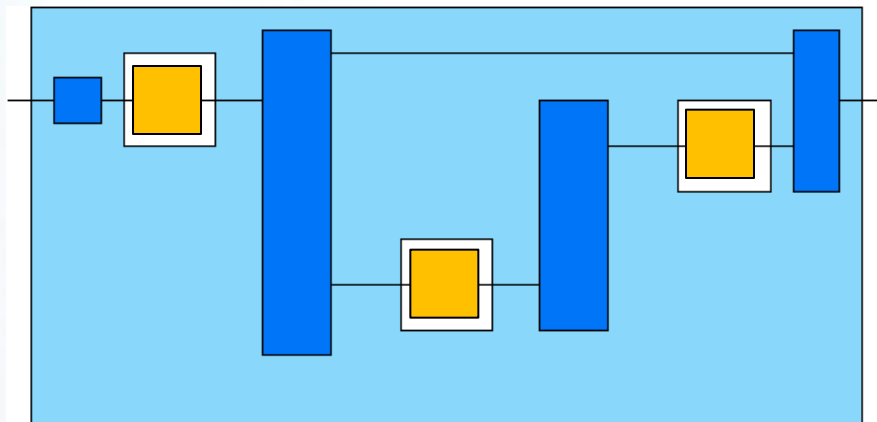


← **Optimalizujeme  
viaceré súčasti  
kvantového obvodu**

## Viackolová interakcia dvoch entít



## Kvantové algoritmy volajúce orákulá



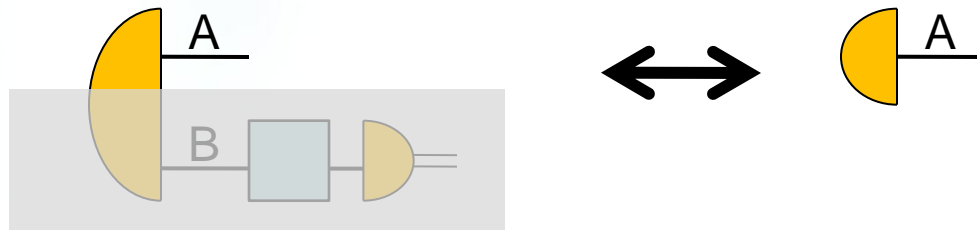
# Matice hustoty a viacčast'ové kvantové systémy

- množina stavov kvantového systému s Hilbertovým priestorom  $H_A$

$$\rho \geq 0, \quad \text{Tr}(\rho) = 1, \quad \rho \in L(H_A)$$

- **čisté stavy**  $\text{Tr}(\rho^2) = 1$   $\rho = |\psi\rangle\langle\psi|$

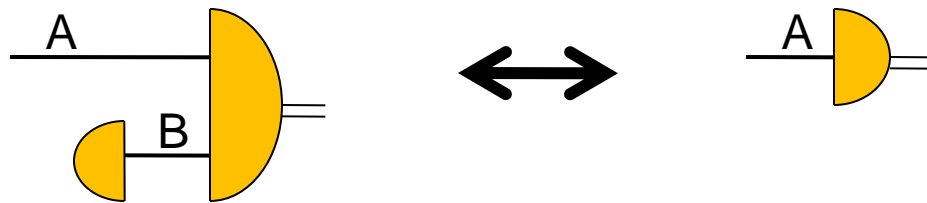
- Dva systémy s Hilbertovými priestormi  $H_A, H_B$  môžu byť v stavoch  $\rho \in L(H_A \otimes H_B)$



- Stav podsystemu A:  $\rho_A = \text{Tr}_B(\rho)$

# POVM merania

- Každé meranie možno chápať ako projektívne meranie na väčšom systéme



- Namiesto popisu merania pomocou ON bázy máme pozitívne operátory

$$E_i \geq 0 \quad \sum_{i=1}^N E_i = \mathbf{1}$$

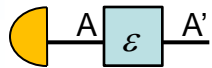
$$p(i) = \text{Tr}(\rho E_i)$$

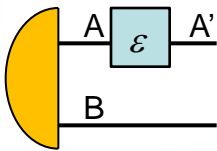
Typické využitie:

- Optimalizácie meraní pre estimácie a rozlišovanie stavov
- Pohodlná parametrizácia dosiahnuteľných pravdepodobnostných distribúcií na stavoch

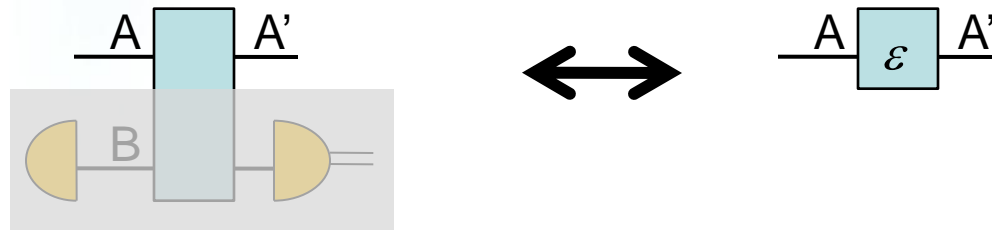
# Kvantové kanály

- Najvšeobecnejší možný časový vývoj systému A
- Lineárne, **úplne pozitívne** a stopu zachovávajúce zobrazenie na  $L(\mathcal{H}_A)$

$\rho$    $\varepsilon(\rho) \geq 0$  Pozitivita

$\sigma$    $\varepsilon \otimes I(\sigma) \geq 0$  **Úplná pozitivita**

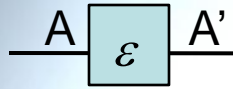
- Každý časový vývoj systému A možno interpretovať ako unitárny vývoj na väčšom systéme (Stinespring)



- Krausova reprezentácia

$$\varepsilon(\rho) = \sum_i K_i \rho K_i^\dagger \quad \sum_i K_i^\dagger K_i = \mathbf{1}$$





# Kvantové kanály

- vhodný na popis množiny kanálov je CHOI-JAMIOLKOWSKI izomorfizmus

$$E = \varepsilon \otimes I (|\Omega\rangle\langle\Omega|)$$

$$|\Omega\rangle \equiv \sum_{i=1}^d |i\rangle|i\rangle \in H_{A'} \otimes H_A$$

$$= \sum_{i,j} \varepsilon (|i\rangle\langle j|) \otimes |i\rangle\langle j|$$

$$E \in L(H_{A'} \otimes H_A)$$

- Aplikácia kanálu na vstupný stav sa z Choi matice získa ako

$$\varepsilon(\rho) = Tr_{A'}(E \mathbf{1} \otimes \rho^T)$$

- Úplnú pozitívnosť a zachovávanie stopy zabezpečujú podmienky

$$E \geq 0 \quad Tr_{A'}(E) = \mathbf{1}_A$$

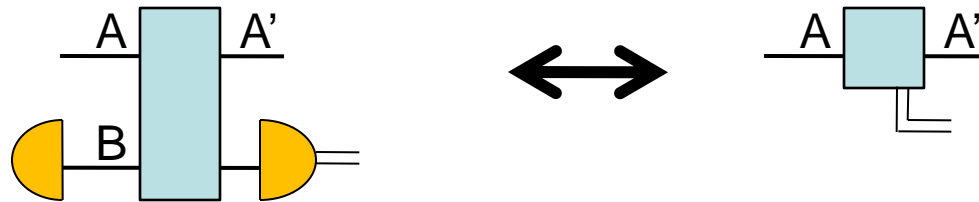
- Súvis s minimálnou Krausovou reprezentáciou

$$E = \sum_i |K_i\rangle\langle K_i| \quad |K_i\rangle \equiv K_i \otimes \mathbf{1} |\Omega\rangle$$

# Kvantové inštrumenty

= merania s klasickým aj kvantovým výstupom

Každý inštrument je dosiahnuteľný ako unitárny vývoj na väčšom systéme nasledovaný meraním na ancile



- v CHOI-JAMIOLKOWSKI izomorfizme

$$E_i \geq 0 \quad \text{Tr}_{A'} \left( \sum_i E_i \right) = \mathbf{1}_A$$

- Ignorovanie klasického výsledku inštrumentu vedie ku kanálu

$$E = \sum_i E_i$$

# Na čo sú kanály medzi rôznymi priestormi?

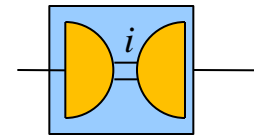
Všetky zariadenia možno chápať ako kanály

Zavedieme 1-rozmerný Hilbertov priestor  $H_\emptyset$  s bázou  $|e_\emptyset\rangle$

$$A \in L(H_X) \iff A \otimes |e_\emptyset\rangle\langle e_\emptyset| \in L(H_X \otimes H_\emptyset)$$

**Stav**  $\rho \in L(H_A)$  = **kanál** z 1-rozmerného Hilbertovho priestoru  $H_\emptyset$  do  $H_A$

**POVM**  $\{E_i\}_{i=1}^N$  na  $H_A$  = **kanál** z  $H_A$  do  $\square^N$ , pričom výsledok  $i$  sa kóduje do ON stavov



$$\mathcal{E}(\rho) = \sum_i |i\rangle\langle i| \text{Tr}(\rho E_i)$$

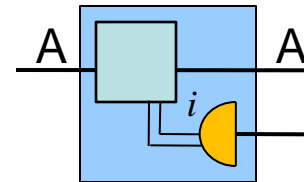
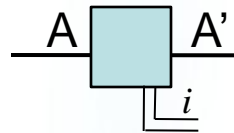
# Na čo sú kanály medzi rôznymi priestormi?

Všetky zariadenia možno chápať ako kanály

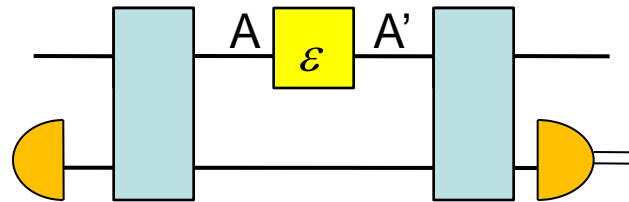
**Inštrument**

$$\{E_i\}_{i=1}^N \subset L(H_{A'} \otimes H_A)$$

= kanál z  $H_A$  do  $H_{A'} \otimes \square^N$   
výsledok  $i$  sa kóduje do ON  
stavov



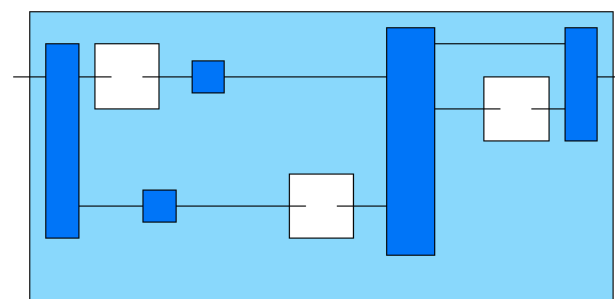
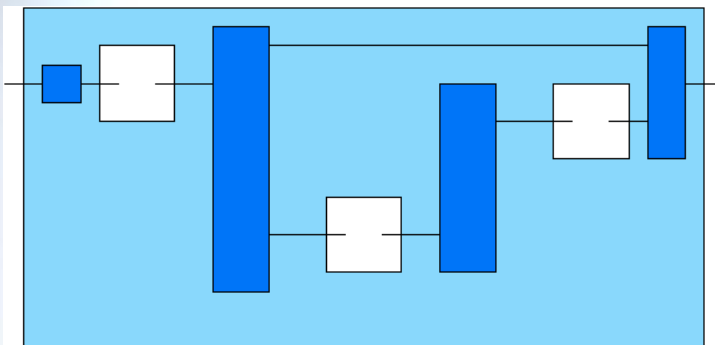
# Ako charakterizovať transformácie kvantových kanálov?



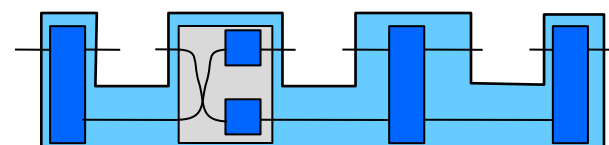
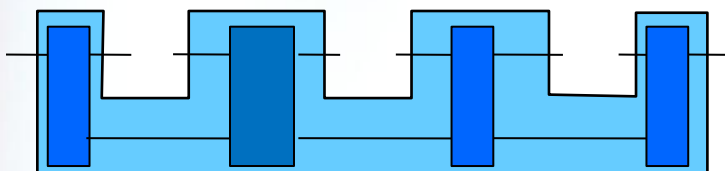
- Chceme nájsť popis, ktorý bude nezávislý na implementácii

# Neúplné kvantové obvody

- **Kvantové obvody s „dierami“**
- Viaceré obvody robia rovnakú vstupno-výstupnú transformáciu



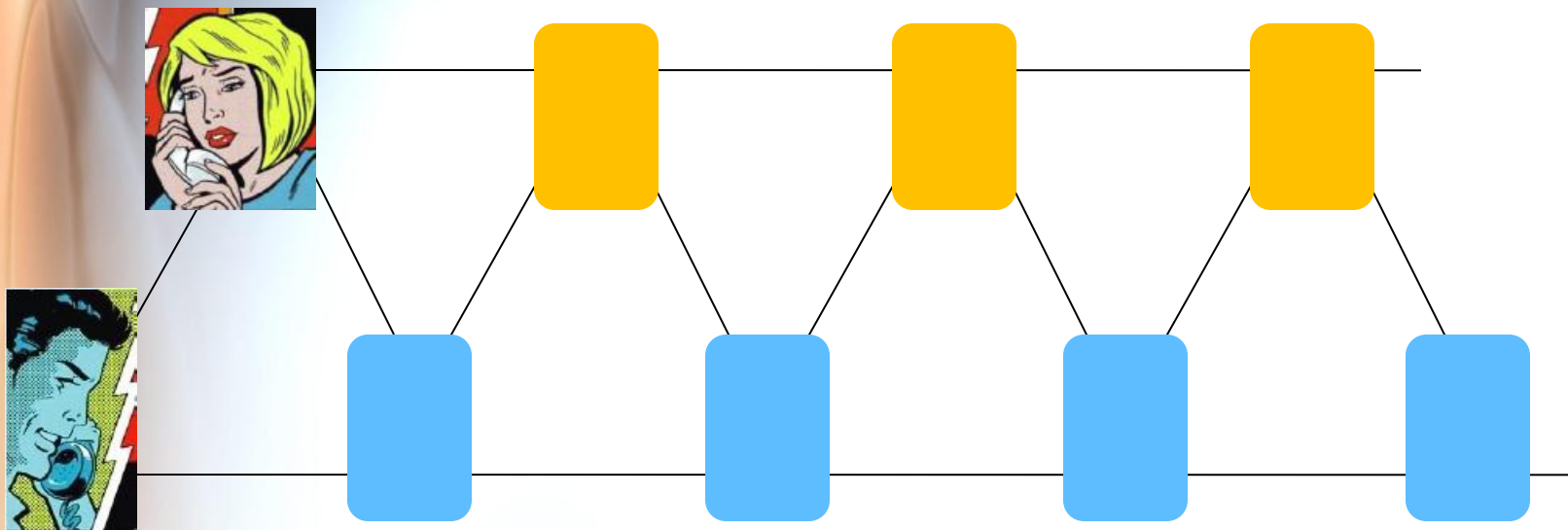
- Preusporiadaním drôtov sú zakresliteľné v tvare hrebeňa



**Objekt záujmu = triedy neúplných kvantových obvodov**

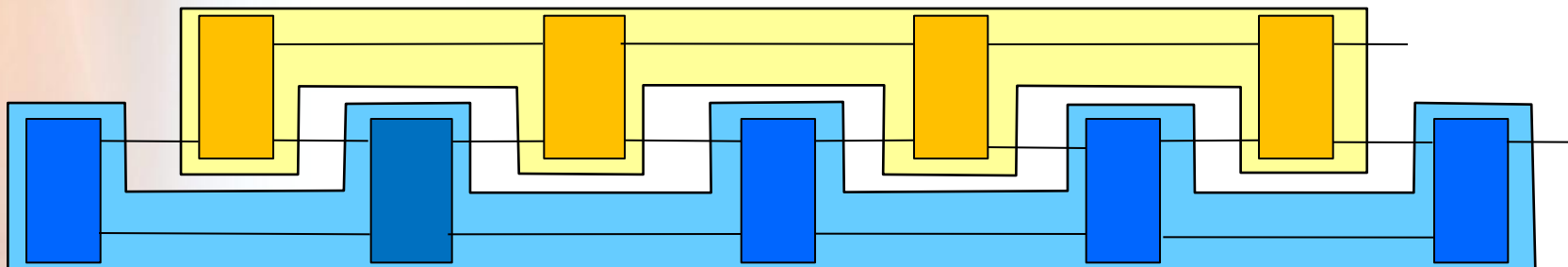
Najvhodnejší matematický formalizmus = **Kvantové hrebene**

# Viackolová interakcia dvoch entít

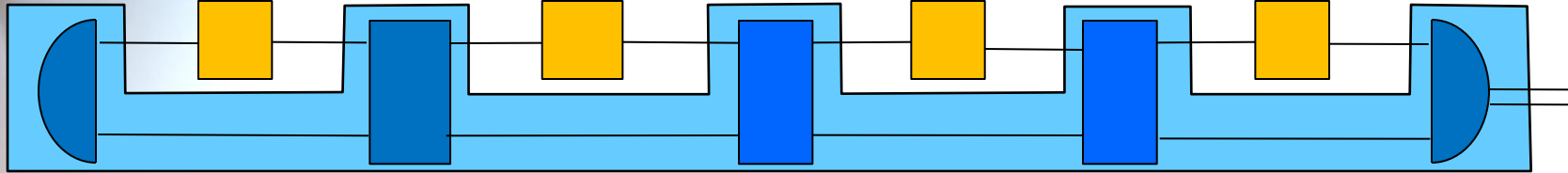


Vhodný formalizmus

- **Kvantové hrebene**

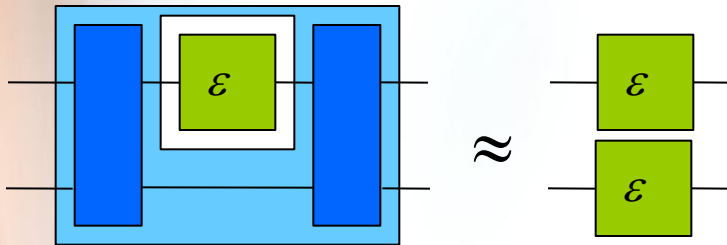


# Kvantové algoritmy volajúce orákulá



- Príkladom je hľadanie v neusporiadanej databáze

## Optimálne stratégie pre zvolenú úlohu

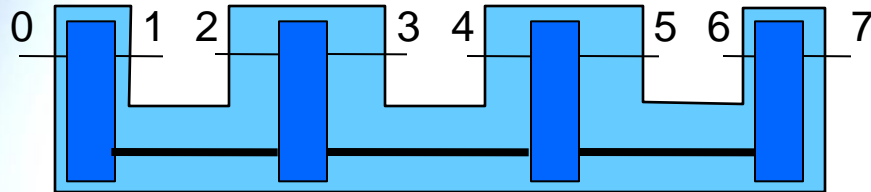


Príklad:

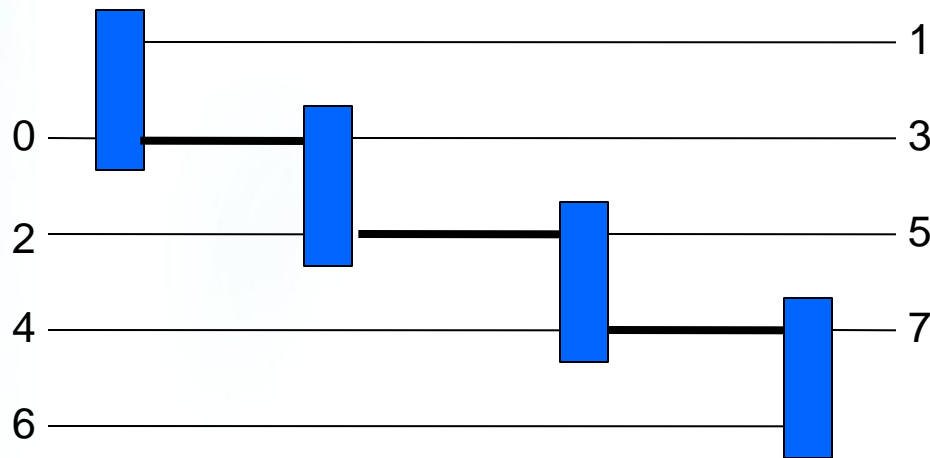
- Klonovanie kvantových kanálov



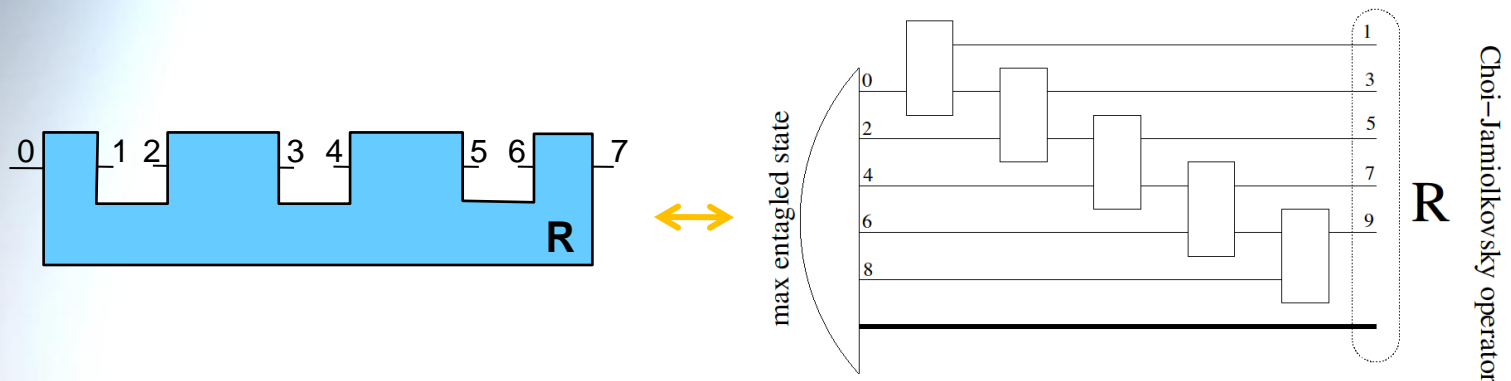
# Neúplný kvantový obvod = pamäťový kanál



- Každý kvantový obvod má štruktúru pamäťového kanála



# Kvantový hrebeň



**Kvantový hrebeň = Choi operátor R pamäťového kanálu**

- Reprezentuje triedu ekvivalencie neúplných kvantových obvodov

Kauzálna štruktúra kvantového hrebeňa vedie k normalizácii:

$$\text{Tr}_{2^{n-1}} \left( R^{(n)} \right) = \mathbf{1}_{2^{n-2}} \otimes R^{(n-1)} \quad \forall n = 2, \dots, N \quad R^{(N)} \equiv R$$

$$\text{Tr}_1 \left( R^{(1)} \right) = 1$$

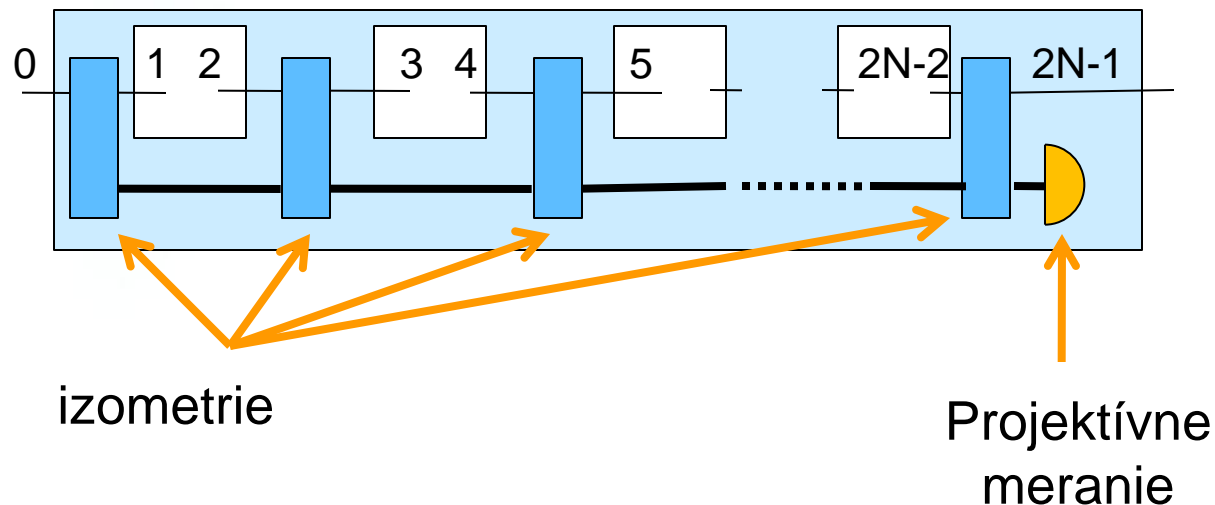
# Kvantový hrebeň – realizačná teoréma

Pre každé  $R$  spĺňajúce normalizáciu

$$\text{Tr}_{2^{n-1}} \left( R^{(n)} \right) = \mathbf{1}_{2^{n-2}} \otimes R^{(n-1)} \quad \forall n = 2, \dots, N \quad R^{(N)} \equiv R$$

$$\text{Tr}_1 \left( R^{(1)} \right) = 1$$

Existuje kvantový obvod nasledujúceho tvaru, ktorý ho realizuje

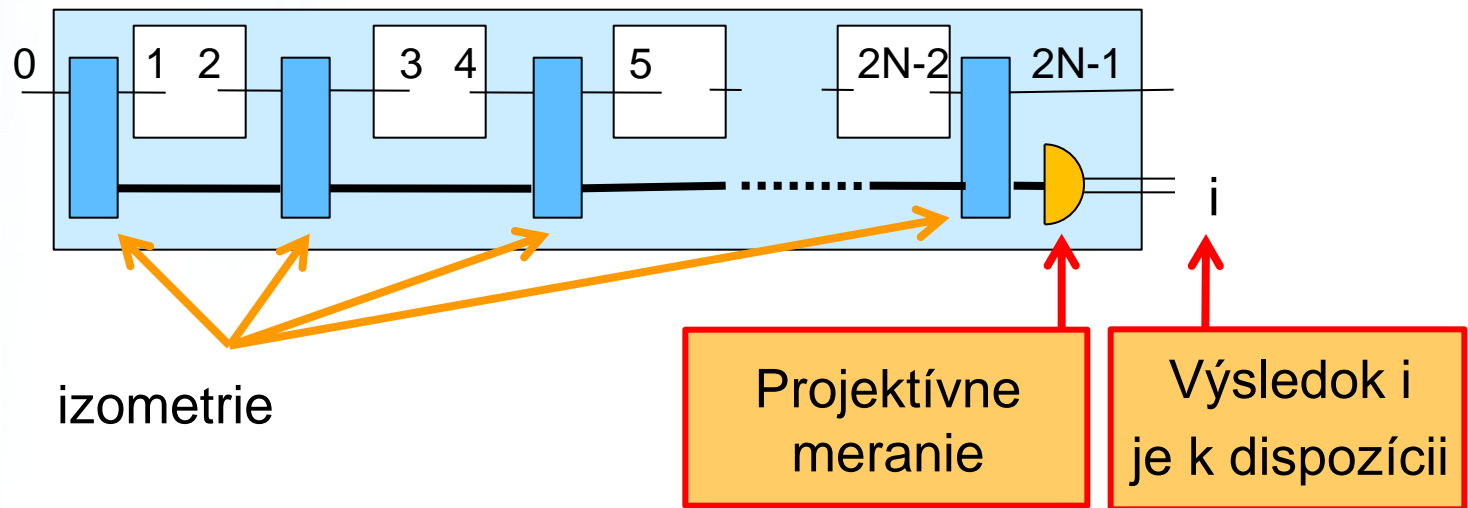


# Zovšeobecnený kvantový inštrument

Pre každú sadu pozitívnych operátorov, ktoré sa sumujú do kvantového hrebeňa

$$\{R_i\}_{i=1}^M, \quad R_i \geq 0, \quad \sum_{i=1}^M R_i \equiv R^{(N)}$$

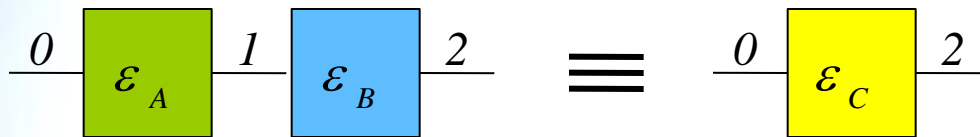
Existuje kvantový obvod s nasledovnou štruktúrou, ktorý ho realizuje



# Hviezdičkový súčin

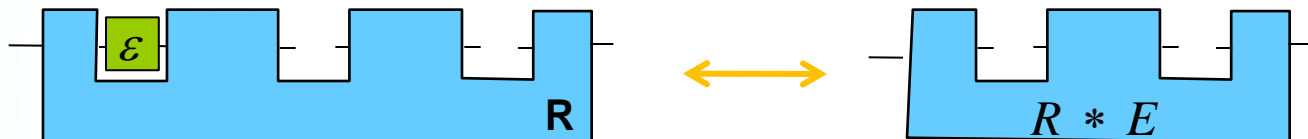
## – spájanie vstupov s výstupmi

Sekvenčná kompozícia kanálov motivuje definíciu hviezdičkového súčinu ich Choi matíc

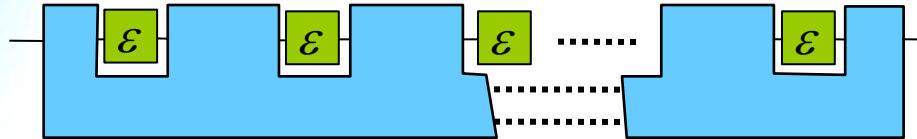


$$E_A * E_B \equiv E_C = Tr_1 \left( E_A \otimes \mathbf{1}_2 \cdot \mathbf{1}_0 \otimes E_B^{T_1} \right)$$

Vloženie kanálu do hrebeňa zodpovedá hviezdičkovému súčinu



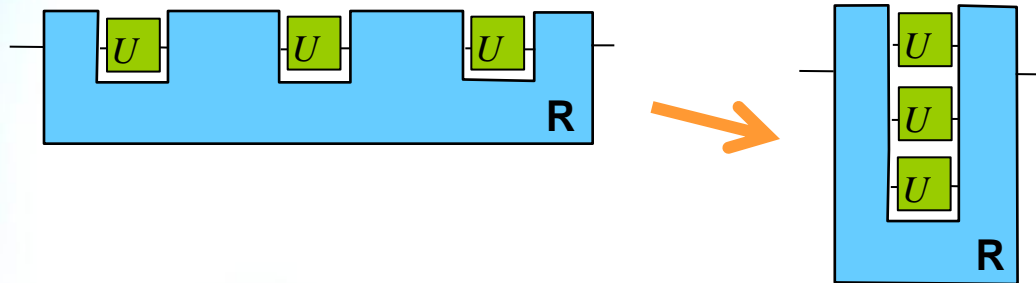
# Optimalizačné úlohy s $N$ použitiami kanálu



- Každá úloha s obmedzenými zdrojmi je formulovateľná ako optimalizácia kvantového hrebeňa / zovšeobecneného inštrumentu vzhľadom na istú cost-funkciu
- Množina hrebeňov / inštrumentov je konvexná
- Realizačná teoréma poskytuje najmenšie pomocné kvantové systémy potrebné pre obvody obsahujúce merania až v poslednom kroku
- Izometrie môžeme rozložiť do elementárnych kvantových brán (1 a 2 qubitových transformácií)

# Výsledky hrebeňov pre unitárne kanály

Cost funkcia má symetriu => hľadáme symetrický hrebeň  
Symetria hrebeňa => paralelizovateľnosť použítí kanála

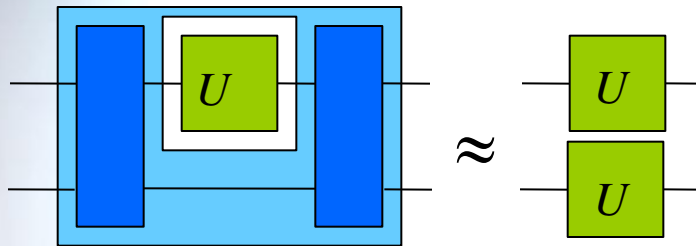


Optimálne kvantové obvody boli nájdené pre:

- Estimáciu kanála z  $N$  použítí
- Klonovanie unitárneho kanála z 1 použitia na 2
- Learning unitárneho kanála z  $N$  použítí
- Invertovanie neznámeho unitárneho kanála
- Vzťah medzi informatívnosťou estimácie a narušením unitárnej transformácie

# Klonovanie unitárneho kanála 1→2

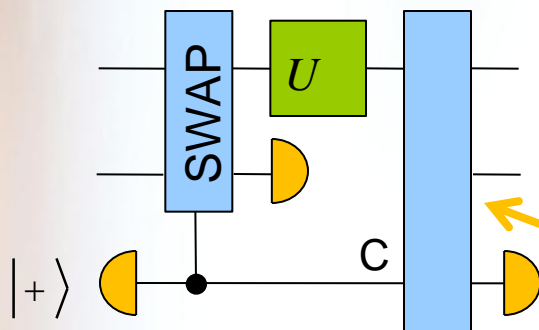
Cost funkcia je priemerná hodnota tzv. Channel Fidelity



$$F = \frac{1}{d^4} \int_{U(d)} dU \text{Tr} [E_U \otimes E_U (R * E_U)]$$

$$E_U = |U\rangle\rangle\langle\langle U| \quad |U\rangle\rangle = U \otimes \mathbf{1} \sum_i |i\rangle|i\rangle$$

Optimálne klonovanie:

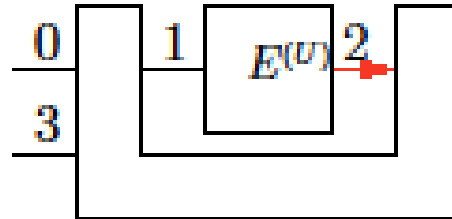


$$F = \frac{(\sqrt{d_+} + \sqrt{d_-})^2}{d^4}$$

Optimálne klonovanie stavov ak je vstup C v  $|+\rangle = \frac{1}{\sqrt{2}}(|0\rangle + |1\rangle)$



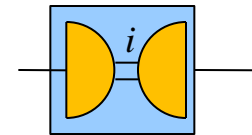
# Optimálne klonovanie POVM 1→2



- Obmedzíme sa na Von Neumannové merania, ktoré reprezentujeme kanálom



$$E_i^{(U)} = U |i\rangle\langle i| U^\dagger$$



$$E = \sum_{i=1}^N |i\rangle\langle i|_{out} \otimes E_i^T$$

$\{|i\rangle\}_{i=1}^d$  - ON báza

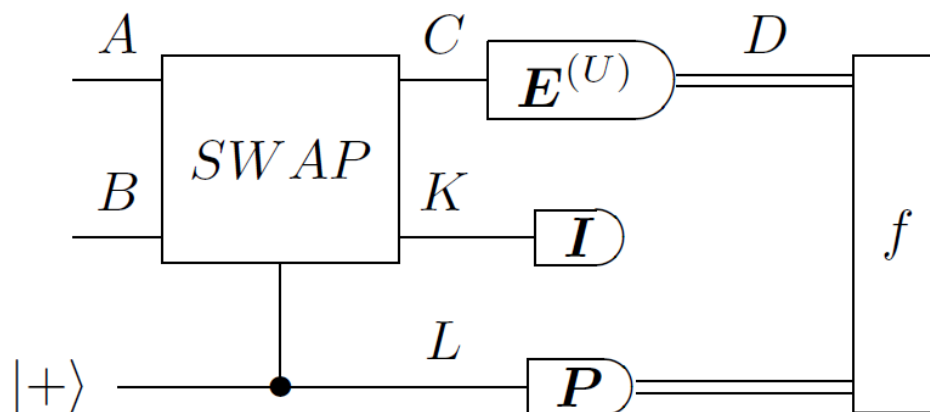
- Predpokladáme rovnomernú pravdepodobnosť ich výskytu

## Cost funkcia:

- Priemerná „blížkosť“ klonovaného a originálneho POVM

$$F = \int_{SU(d)} dU \frac{1}{d^2} \sum_{i,j=1}^d Tr \left( E_i^{(U)} \otimes E_j^{(U)} F_{ij}^{(U)} \right)$$

## Realizácia optimálneho 2→1 klonovania POVM



$$P_1 = \frac{(9d(d+1) - 2)}{9d(d+1)} |+\rangle\langle +|$$

$$P_2 = |\psi\rangle\langle\psi| \quad P_3 = \sigma_z |\psi\rangle\langle\psi| \sigma_z$$

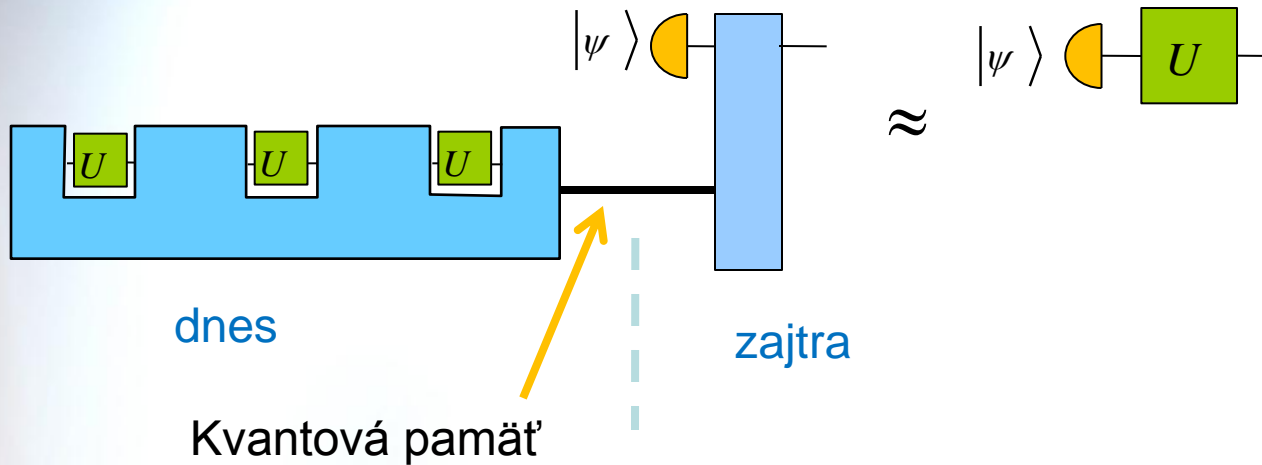
$$|\psi\rangle = \sqrt{\frac{1}{9d(d+1)}} |+\rangle + \sqrt{\frac{1}{2}} |-\rangle$$

$$f(k, n) = \begin{cases} (k, k) & \text{if } n = 1 \\ (k, j) & j \neq k \text{ if } n = 2 \\ (j, k) & j \neq k \text{ if } n = 3 \end{cases}$$

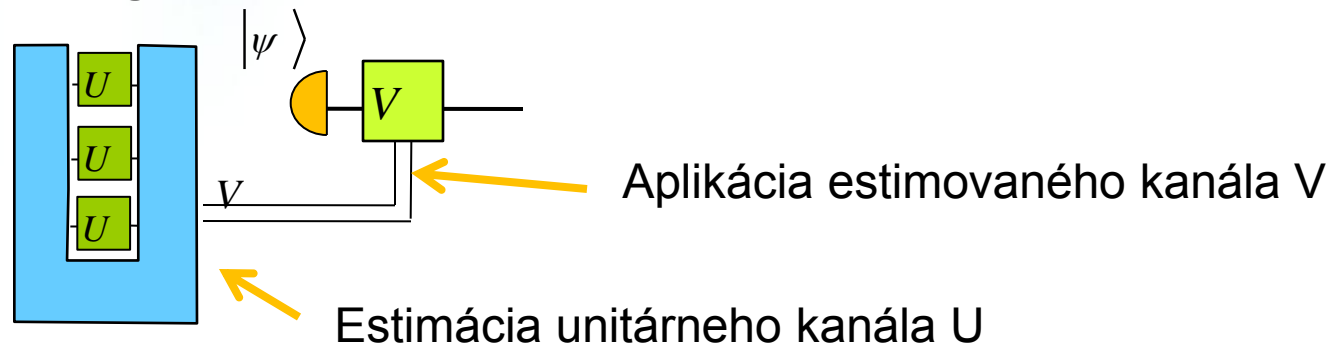
- Realizácia vyžaduje iba jeden pomocný qubit
- Qubit treba zmerať 3-výsledkovým POVM

# Learning unitárneho kanála

Cost funkcia je opäť Channel Fidelity

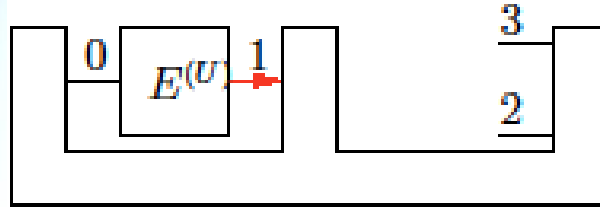


**Optimálna stratégia:**



# 1 → 2 Learning vs. Cloning POVM

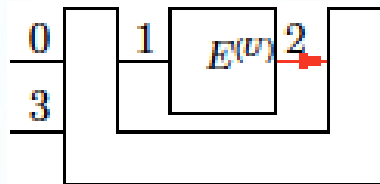
Learning:



$$F = \frac{9d^2 + 16d - 17}{6d^2(d^2 - 1)} \square \frac{3}{2d^2}$$

Cloning:

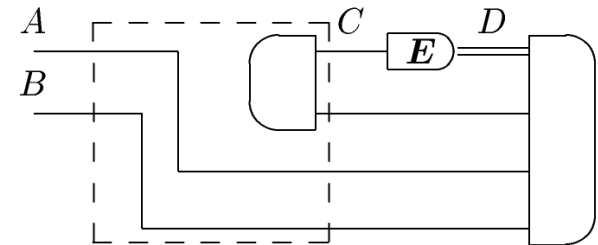
Stratégie pre klonovanie zahŕňajú learning stratégie



$$F = \frac{4}{3d}$$

$F_{clon} \geq F_{learn}$  pretože:

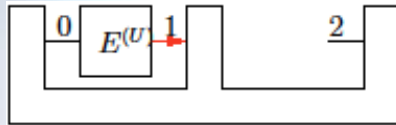
- Podobne ako pre cloning vs. learning unitárnych kanálov klonovanie je o jeden rád lepšie



# Výsledky optimalizácie

## N→1 Learning quditového POVM

1→1 Learning:



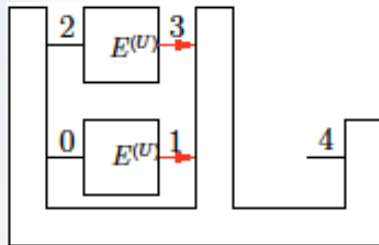
pre qubity:

$$F = 0,75$$

pre qudity:

$$F = \frac{d + 1}{d^2}$$

2→1 Learning:

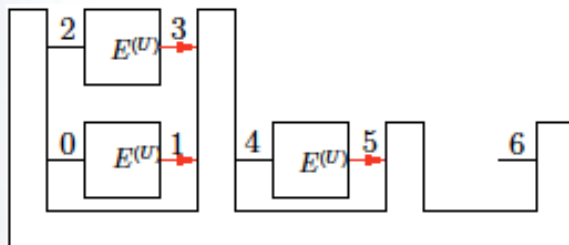


$$F = 0,811$$

$$F = \frac{d(d+1)^2 - 2 + \sqrt{d^4 - 2d^2 + 5}}{d(d-1)(d+1)^2}$$

Optimálna stratégia je **paralelná**

3→1 Learning:

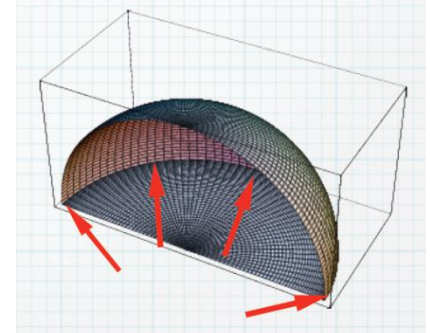


$$F = 0,868$$

Optimálna stratégia je **sekvenčná**

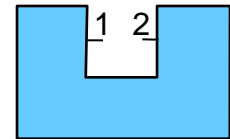
# Extremálnosť kvantových hrebeňov

- Množina kvantových hrebeňov a ich inštrumentov (quantum comb instruments) je **konvexná**
- **Extremálne body** charakterizujú množinu a sú riešeniami optimalizácie pre konkávne cost-funkcie

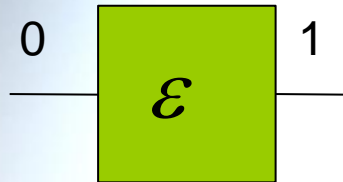


## Výsledky publikovaného článku:

- N&S podmienka extremality pre všeobecný inštrument (zahŕňa kanály, inštrumenty)
- Nerovnosť pre ranky elementov 1-testera
- Klasifikácia 1-testerov
- príklady qubitových 1-testerov



# Extremálnosť kvantových kanálov



**Kanál** = GQI s jediným výsledkom a jedným vstupom, výstupom

Double Ket notácia:  $|A\rangle\rangle \equiv A \otimes I \sum_i |i\rangle|i\rangle$

$$E = \mathcal{E} \otimes \mathbf{1} (|I\rangle\rangle\langle\langle I|) = \sum_{n=1}^r |K_n\rangle\rangle\langle\langle K_n|$$

$K_i$  minimálna Krausová reprezentácia pre  $\mathcal{E}$

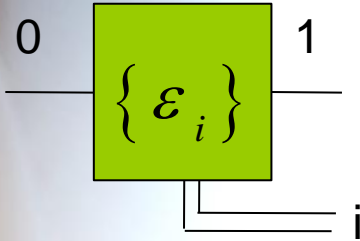
$$W \equiv \{ \sigma_k \otimes \mathbf{1}_0, \forall k \} \cup \{ \sigma_k \otimes \sigma_l, k \neq l \}$$

$$\sum_i \sum_{n,m} D_{nm} |K_n\rangle\rangle\langle\langle K_m| + \sum_k \alpha_k \sigma_k \otimes \mathbf{1}_2 + \sum_{k,l} \beta_{kl} \sigma_k \otimes \sigma_l = 0$$

Podmienku môžeme ekvivalentne prepísať ako Choi-ovú podmienku lineárnej nezávislosti pre:

$$(K_n)^+ K_m \quad \forall n, m$$

# Extremalita inštrumentov



## Inštrument

- Popisuje kvantové meranie s klasickým aj kvantovým výstupom
- GQI s **M výsledkami** a jedným vstupným, výstupným priestorom

$$\varepsilon_i(\rho) = \sum_n K_n^i \rho K_n^{i+}$$

$$W \equiv \{ \sigma_k \otimes \mathbf{1}_0, \forall k \} \cup \{ \sigma_k \otimes \sigma_l, k \neq l \}$$

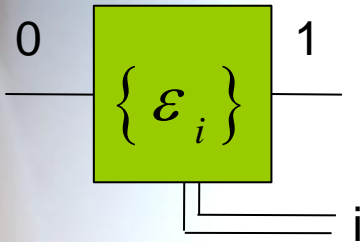
$$\sum_i \sum_{n,m} D_{nm}^i \left| \left\langle \left\langle K_n^i \right| \right\rangle \right\rangle \left\langle \left\langle K_m^i \right| \right\rangle \right\rangle + \sum_k \alpha_k \sigma_k \otimes \mathbf{1}_2 + \sum_{k,l} \beta_{kl} \sigma_k \otimes \sigma_l = 0$$

Podmienku môžeme ekvivalentne prepísať ako podmienku lineárnej nezávislosti pre:

$$\left( K_n^i \right)^+ K_m^i \quad \forall i, n, m$$



# POVM and kanál indukovaný inštrumentom



**Ignorovaním kvantového výstupu inštrumentu získame POVM**

$$P_i = \sum_n \left( K_n^i \right)^+ K_n^i$$

**Ignorovaním klasického výstupu inštrumentu získame kanál**

$$\varepsilon(\rho) = \sum_i \varepsilon_i(\rho) = \sum_i \sum_n K_n^i \rho K_n^{i+}$$

Lüdersov inštrument =

Inštrument definovaný POVM  $\{P_i\}_{i=1}^M$  ako  $\varepsilon_i(\rho) = \sqrt{P_i} \rho \sqrt{P_i}$

Lüdersové inštrumenty sú extrémálne práve vtedy keď, sú elementy POVM lineárne nezávislé

# Zhrnutie

Kvantové hrebene sú veľmi užitočné pre:

- Optimalizácia kvantových algoritmov
- analýza pamäťových efektov a nárokov
- Riešenie problémov s obmedzenými zdrojmi
- Analýza komunikačných protokolov

O čom som nehovoril:

- Dôkaz nerealizovateľnosti Quantum bit commitmentu
- Operačná vzdialenosť pre kvantové hrebene
- aplikácia hrebeňov pre všeobecné pravdepodobnostné teórie
- kompresia pamäte protokolov
- Všeobecné transformácie unitárnych kanálov

# References:

## Články o kvantových hrebeňoch na ktorých som sa podielal:

D'Ariano, Perinotti, MS, "Extremal quantum protocols", J. Math. Phys. 52, 082202 (2011)

Bisio, D'Ariano, Perinotti, MS, „Quantum learning ...“, Phys. Lett. A 375, pp. 3425 (2011)

Bisio, D'Ariano, Perinotti, MS, „Cloning of measurement “, Phys.Rev.A 84,042330 (2011)

## Q. Comb framework:

**G. Chiribella, G. M. D'Ariano, P. Perinotti**, “Theoretical framework for quantum networks”, Phys. Rev. A 80, 022339 (2009),

**G. Chiribella, G. M. D'Ariano, P. Perinotti**, “Quantum circuits architecture”, Phys. Rev. Lett. 101, 060401 (2008),

## Ďalšie aplikácie kvantových hrebeňov:

(authors: A. Bisio, G. Chiribella, G. M. D'Ariano, S. Facchini, P. Perinotti)

“Information - Disturbance Tradeoff in Estimating a Unitary Transformation”, arXiv:1006.5665

“Minimal computational-space implementation of multi-round quantum protocols”, arXiv:1006.1780

“Optimal quantum learning of a unitary transformation”, Phys. Rev. A 81, 032324 (2010)

“Optimal quantum tomography for states, measurements, and transformations”, Phys. Rev. Lett. 102 (2009) 010404

**Ďakujem za pozornosť.**